

Validation par analyse statique

Xavier Thirioux

ENSEEIH

November 27, 2018



Le Model-Checking

- Vérification Automatique de Modèles:
- Qu'est-ce qu'un modèle ?
- Qu'est-ce qu'on vérifie ?
- Comment le vérifie-t'on ?



Termes du problème

formalisme opérationnel: système

- système de transitions
 - automate (simple, à pile, . . .)
 - machine de Turing
 - programme C
- structure de Kripke

formalisme logique: spécification

- (non-) atteignabilité
- observateurs
- LTL, CTL
- CTL^{*}, μ -calcul
- (bi-)simulation

Structure de Kripke

Une structure de Kripke \mathcal{S} est un quintuplet:

- S est l'espace d'états
- $I \subseteq S$ est l'ens. des états initiaux
- $R \subseteq S \times S$ est la rel. de transition
- Prop est l'ens. des propositions atomiques
- $L \in S \rightarrow 2^{\text{Prop}}$ est la fonction qui associe à chaque état les propriétés élémentaires qu'il vérifie



Approche sémantique

- pas de manipulation de formules (syntaxique)
- domaine sémantique (modèle) pour les exécutions:
→ états, traces (finies, infinies), arbres de calcul
- un système \mathcal{S} représente un ens. de modèles $\llbracket \mathcal{S} \rrbracket$
- une spécification F représente un ens. de modèles $\llbracket F \rrbracket$
- par un parcours de l'espace des états (co-) accessibles ...
- on vérifie que les exécutions de \mathcal{S} sont permises par F :

$$\llbracket \mathcal{S} \rrbracket \subseteq \llbracket F \rrbracket$$



Une nécessité ?

- 1981: bug dans la première navette spatiale (actuellement: 50M de lignes)
- 1989: panne géante du réseau téléphonique aux USA
- 1994: bug du pentium III
- 1996: explosion première Ariane 5
- 1997: perte de données Mars Pathfinder
- 1997: bug protocole audio/video Bang & Olufsen
- 2000: bug pile TCP/IP (OpenBsd, Windows)
- 2004: bug dans régulateur de vitesse Renault ?



Une nécessité !

- pour les systèmes embarqués / critiques, il y a mise en jeu:
 - de vies humaines, d'argent, d'informations rares
- certains bugs avaient été détectés mais impossibles à corriger !
- certains bugs n'avaient pas été encore découverts !

quelques outils

- JAVA PATHFINDER à la NASA
- SCADE / NP-PROVER chez Airbus
- UPPAAL chez Bang & Olufsen
- SLAM chez Microsoft
- SMV chez Cadence, Intel
- SPIN chez Nortel Network

Contraintes

l'algorithme de vérification doit être:

- (semi-) décidable
- raisonnable en mémoire
- raisonnable en temps
- bavard (suivi du processus de preuve)
- compréhensible (exploitation des résultats)



Problème de composition

- la composition (synchrone ou asynchrone) de systèmes est exponentielle:
→ N systèmes de taille $M \equiv$ un système de taille M^N !
- le model-checking n'est pas compositionnel:
→ on ne peut pas décomposer les preuves structurellement
- il faut valuer / expander tous les paramètres symboliques
→ + facile quelquefois de vérifier pour N que pour 50 !



Problème de complexité

- la complexité des algorithmes de vérification varie entre polynomial / exponentiel
- en temps / mémoire
- une échelle de grandeur:
 $500 \text{ bits} \sim 3 * 10^{150} \text{ états} \sim 62 \text{ octets} \Rightarrow 1 - 10\text{Go}$
- temps / mémoire très sensibles à la modélisation et aux algorithmes choisis:
 - abstraction, fusion, dépliage
 - ordre des variables
 - ordre du parcours



Solutions ?

- exploitation optimale des symétries du système
- représentations concises des ens. d'états
- décomposition des preuves manuellement
- conditions suffisantes (syntaxiques) de décomposition
- détermination des valeurs significatives des paramètres symboliques
 - par ex., si la spec est vérifiée pour $N = 5$, alors elle l'est aussi pour tout $N > 5$.



Explicite vs. symbolique

- explicite: un état est un élément d'un conteneur
- symbolique: représentation compacte d'ens. d'états
- en théorie: pas de gagnant
- en pratique: si l'espace d'états est grand, on préfère le symbolique



Explicite

- outil SPIN (logique LTL)
- adapté au parcours en profondeur (reconstruction des exécutions)
- peut-être très économe en mémoire / très gourmand en temps
- en général, table de hachage
- abstraction par "bit-state encoding"



Symbolique

- outil SMV (logique CTL)
- adapté au parcours en largeur (en couches d'oignon)
- un peu moins économe en mémoire / un peu moins gourmand en temps
- meilleur compromis en général
- se prête parfois à la représentation d'ens. infinis d'états
- un exemple célèbre: Binary Decision Diagrams (BDD)



Binary Decision Diagrams

Avantages

- travaux de Lee (1959), Bryant (1986), Coudert & Madre (1992), etc
→ technologie très bien maîtrisée
- utilisé dans beaucoup d'outils, dont SMV
- finalement, tous les programmes manipulent des bits

Inconvénients

- il faut tout transformer en programme booléen (circuit)
→ nombre de variables (et taille) parfois rédhibitoire
- opérations arithmétiques difficiles
- très sensible à l'encodage choisi
- calcul des transitions exponentiel

Définition

Un diagramme de décision binaire est:

- un arbre de décision binaire
- représentant une formule de logique propositionnelle
- où les variables sont toujours dans le même ordre
- où les sous-arbres communs sont partagés
- où les variables inutiles sont supprimées
- où une expression et sa négation sont partagées

Théorème de décomposition de Shannon

$$\forall f \in \text{Bool}^n \rightarrow \text{Bool} : \exists ! f_0, f_1 \in \text{Bool}^{n-1} \rightarrow \text{Bool} : \\ f(x_1, \dots, x_n) = (\neg x_1 \wedge f_0(x_2, \dots, x_n)) \vee (x_1 \wedge f_1(x_2, \dots, x_n))$$



Décomposition de Shannon

Pour toutes fonctions f et g , et toute var. de décomposition x :

- $f_0 = f[x \leftarrow \text{False}]; f_1 = f[x \leftarrow \text{True}]$
- $(\neg f)_0 = \neg(f_0); (\neg f)_1 = \neg(f_1)$
- $(f \vee g)_0 = f_0 \vee g_0; (f \vee g)_1 = f_1 \vee g_1$
- $\exists x. f = f_0 \vee f_1$

Démonstration !



Un exemple

- un arbre de décision binaire représentant:

$$f = (x \wedge \neg(y \vee z)) \vee (t \wedge y) \vee (z \wedge t)$$

- on choisit (arbitrairement) l'ordre: $t < x < y < z$

- par rapport à t , on a:

$$f = (\underbrace{\neg t \wedge (x \wedge \neg(y \vee z))}_{f_0 = f[t \leftarrow \text{False}]} \vee (t \wedge \underbrace{((x \wedge \neg(y \vee z)) \vee y \vee z))}_{f_1 = f[t \leftarrow \text{True}]})$$

- on décompose récursivement f_0 et f_1
en fonction de x , puis y , puis z

- donc:

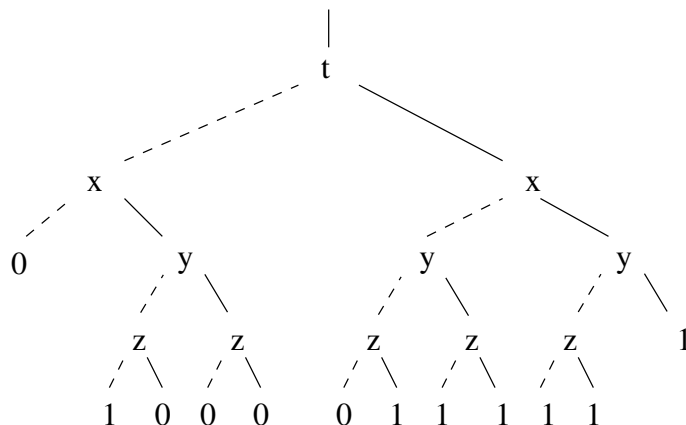
$$f_0 = (\neg x \wedge \underbrace{\text{False}}_{f_{00}}) \vee (x \wedge \underbrace{\neg(y \vee z)}_{f_{01}})$$

$$f_1 = (\neg x \wedge \underbrace{(y \vee z)}_{f_{10}}) \vee (x \wedge \underbrace{(\neg(y \vee z) \vee y \vee z)}_{f_{11}})$$



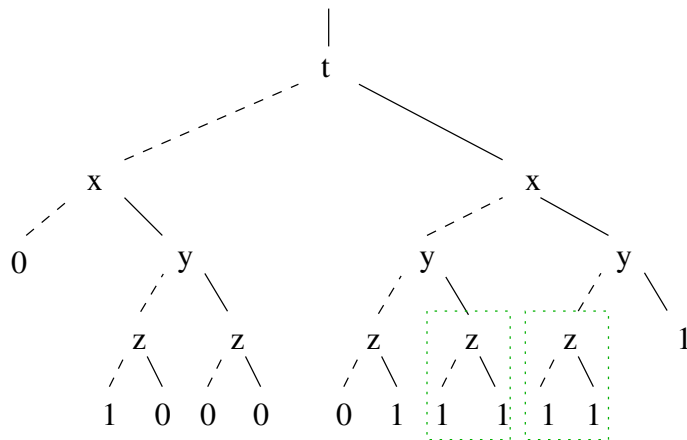
$$\text{Formule } f = (x \wedge \neg(y \vee z)) \vee (t \wedge y) \vee (z \wedge t)$$

Son arbre de décision binaire est (8 états sur 16):



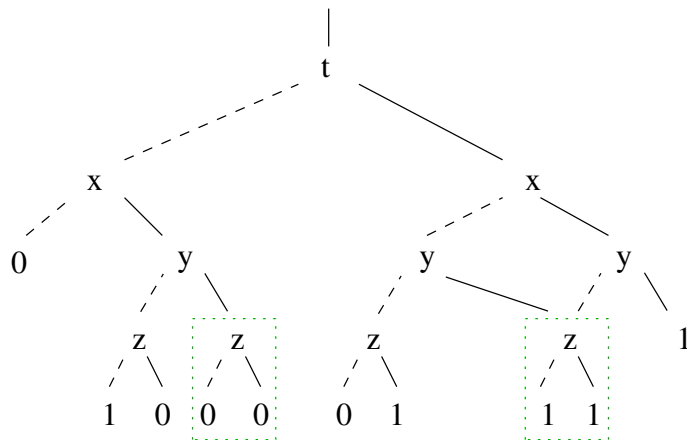
$$\text{Formule } f = (x \wedge \neg(y \vee z)) \vee (t \wedge y) \vee (z \wedge t)$$

Partage des sous-expressions en commun:



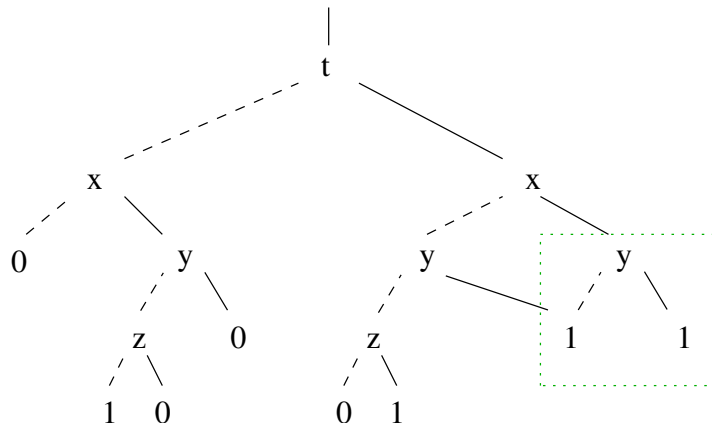
Formule $f = (x \wedge \neg(y \vee z)) \vee (t \wedge y) \vee (z \wedge t)$

Elimination des variables inutiles ($f_0 = f_1$):



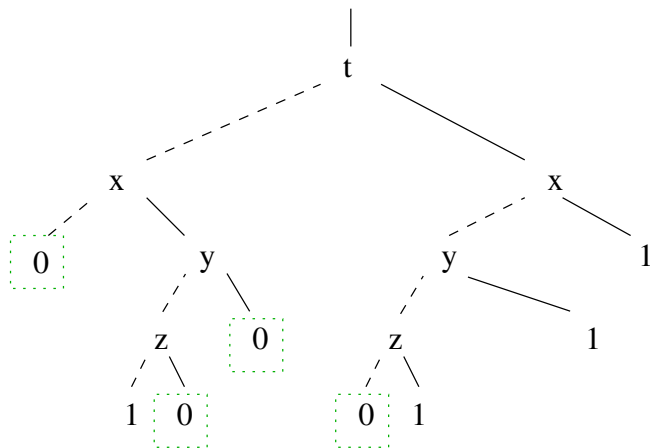
Formule $f = (x \wedge \neg(y \vee z)) \vee (t \wedge y) \vee (z \wedge t)$

Elimination des variables inutiles ($f_0 = f_1$):



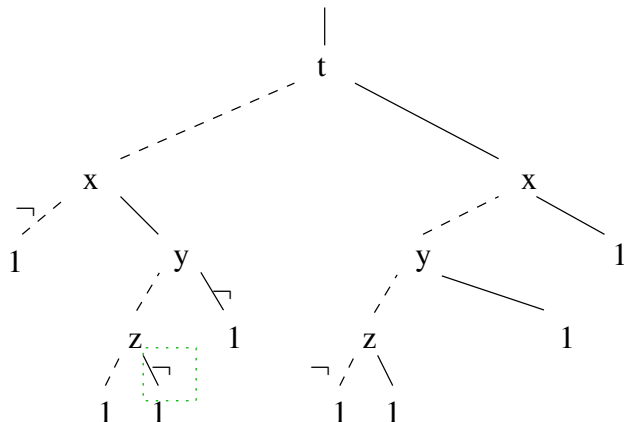
$$\text{Formule } f = (x \wedge \neg(y \vee z)) \vee (t \wedge y) \vee (z \wedge t)$$

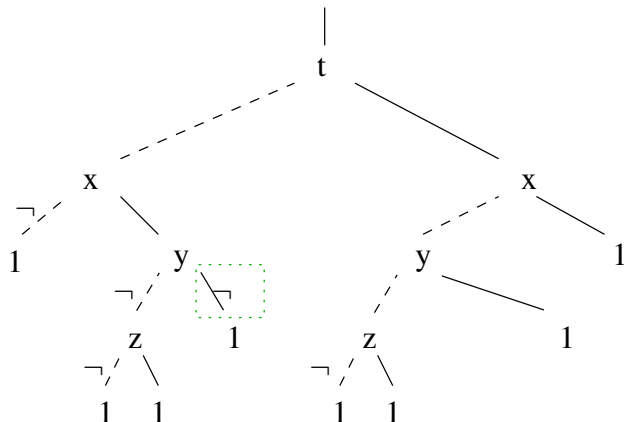
Partage des négations (intro. bit de négation sur les branches):



$$\text{Formule } f = (x \wedge \neg(y \vee z)) \vee (t \wedge y) \vee (z \wedge t)$$

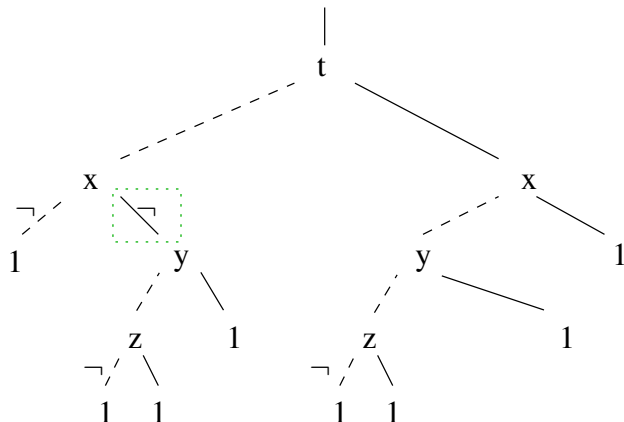
Normalisation des négations (pas \neg dans branches droites):



Formule $f = (x \wedge \neg(y \vee z)) \vee (t \wedge y) \vee (z \wedge t)$ Normalisation des négations (pas \neg dans branches droites):

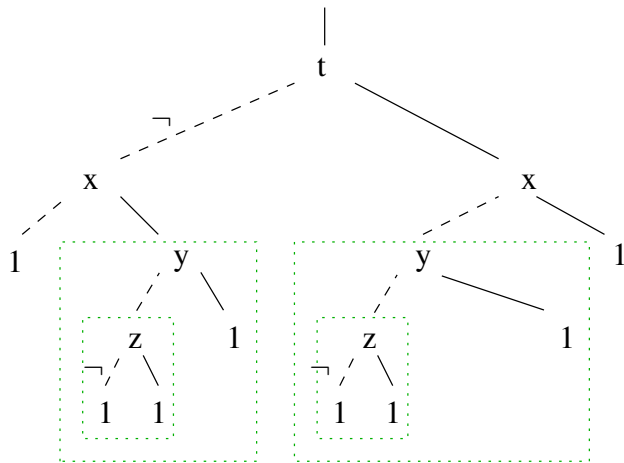
Formule $f = (x \wedge \neg(y \vee z)) \vee (t \wedge y) \vee (z \wedge t)$

Normalisation des négations (pas \neg dans branches droites):



Formule $f = (x \wedge \neg(y \vee z)) \vee (t \wedge y) \vee (z \wedge t)$

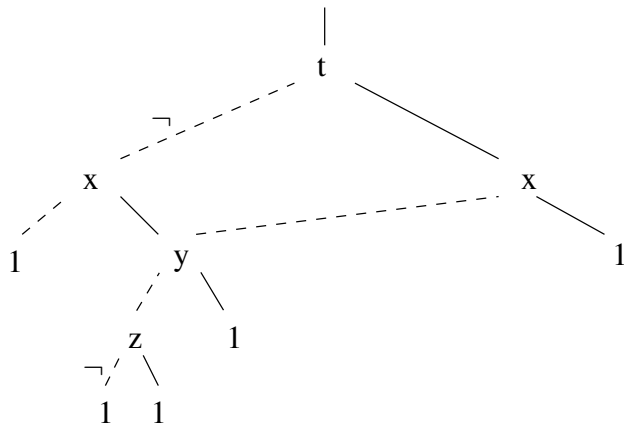
Partage des sous-expressions en commun:



27

$$\text{Formule } f = (x \wedge \neg(y \vee z)) \vee (t \wedge y) \vee (z \wedge t)$$

Diagramme final (retrouvez les 8 états !):



Opérations booléennes

- la négation est triviale: on change un bit à la racine !
 - la proposition atomique est triviale
 - la quantification existentielle: $\exists x.f = f_0 \vee f_1$
 - la conjonction = disjonction + négation
- reste la disjonction \vee
- de complexité polynomiale !



Disjonction

Soient f et g suivantes. On cherche à calculer $f \vee g$:

- $f = (\neg x \wedge f_0) \vee (x \wedge f_1)$
- $g = (\neg y \wedge g_0) \vee (y \wedge g_1)$
- on peut avoir $x \neq y$

Cas $x = y$

On a: $f \vee g = (\neg x \wedge (f_0 \vee g_0)) \vee (x \wedge (f_1 \vee g_1))$

Cas $x < y$

On a toujours: $g = (\neg x \wedge g) \vee (x \wedge g)$

On se ramène alors au premier cas

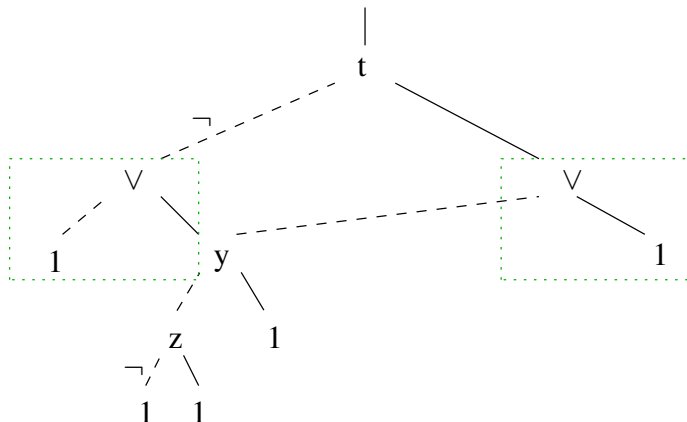
Cas $x > y$

On a toujours: $f = (\neg y \wedge f) \vee (y \wedge f)$

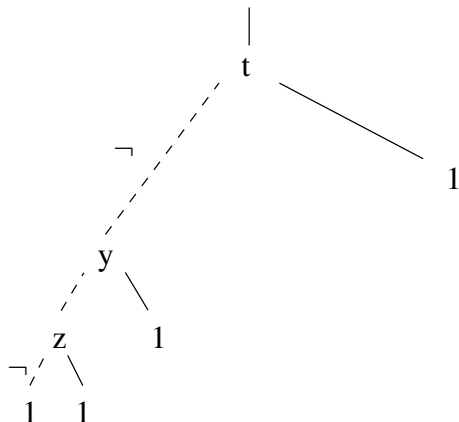
On se ramène alors au premier cas

Formule $f = (x \wedge \neg(y \vee z)) \vee (t \wedge y) \vee (z \wedge t)$

Quantification existentielle: $\exists x : f$



27

Formule $\exists x : f$ Diagramme final: $t \vee (\neg t \wedge \neg y \wedge \neg z)$ 

Calcul des transitions

Hypothèses

- mise en forme (p registres, n entrées, m sorties):

$$\begin{cases} r'_i = f_i(e_1, \dots, e_n, r_1, \dots, r_p) & \text{pour } i \in [1, p] \\ s_i = g_i(e_1, \dots, e_n, r_1, \dots, r_p) & \text{pour } i \in [1, m] \end{cases}$$

- les variables sont les e_i et r_i , les BDD sont les f_i et g_i

Calcul

- à l'instant t : on a calculé l'ens. d'états a^t (variables r_i)
- à l'instant $t + 1$:

$$\begin{cases} a^{t+1} = \underbrace{(\exists e_1, \dots, e_n, r_1, \dots, r_p : a^t \wedge \bigwedge_{i \in [1, p]} (r'_i \Leftrightarrow f_i))}_{\text{exponentiel en } p, n} [r'_i \leftarrow r_i] \\ s_i^{t+1} = g_i \wedge a^{t+1} \end{cases}$$

Problème: ordre des variables

L'ordre des variables peut faire varier la taille des BDD.
Soient les variables $x_i, i \in [0, 2n - 1]$:

Un cas linéaire

$$\bigwedge_{i \in [0, n-1]} (x_{2i} \Leftrightarrow x_{2i+1})$$

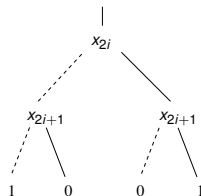
Un cas exponentiel

$$\bigwedge_{i \in [0, n-1]} (x_i \Leftrightarrow x_{n+i})$$

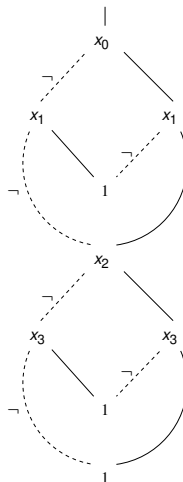


Cas linéaire

Arbre de $x_{2i} \Leftrightarrow x_{2i+1}$:

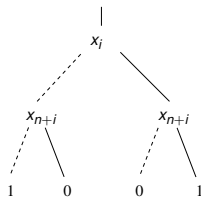


BDD pour $\bigwedge_{i \in [0,1]} (x_{2i} \Leftrightarrow x_{2i+1})$:

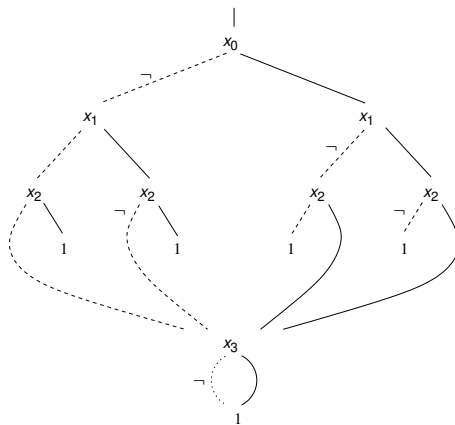


Cas exponentiel

Arbre de $x_i \Leftrightarrow x_{n+i}$:



BDD pour $\bigwedge_{i \in [0,1]} (x_i \Leftrightarrow x_{n+i})$:



Problème: ordre du parcours

L'ordre du parcours peut faire varier la taille des BDD.

- avoir une représentation dense:
beaucoup d'états, peu de noeuds
- lorsqu'on accumule les états atteints
par ex. calcul des états accessibles

solution 1

- il faut ordonner / partitionner les calculs d'image afin que les encodages des états sources et images soient "proches"
par ex. au sens de la distance de Hamming
- utilisation du code de Gray



Problème: ordre du parcours

L'ordre du parcours peut faire varier la taille des BDD.

- avoir une représentation dense:
beaucoup d'états, peu de noeuds
- lorsqu'on accumule les états atteints
par ex. calcul des états accessibles

solution 2

- changer dynamiquement l'ordre des variables
 - permutations de variables voisines (par ex. recuit simulé)
- algorithmiquement non trivial et grande complexité
 $O(n! \times 2^n)$



Problème: ordre du parcours

L'ordre du parcours peut faire varier la taille des BDD.

- avoir une représentation dense:
beaucoup d'états, peu de noeuds
- lorsqu'on accumule les états atteints
par ex. calcul des états accessibles

solution 3

- déterminer / fournir des invariants simples ("careset")
sur les entrées et les registres
statiquement ou bien à la volée
 - par ex. $x_i, \neg x_i, x_i \Leftrightarrow x_j, x_i \Leftrightarrow \neg x_j$
- nouveaux opérateurs pour factoriser ces invariants
et diminuer ainsi la taille des BDD



Opérateurs de factorisation

- $factor(f, g) \wedge g \Leftrightarrow f \wedge g$
- $taille(factor(f, g)) < taille(f)$
- commute avec la décomposition de shannon (structurel)

restriction

- $f \wedge g \Rightarrow restrict(f, g) \Rightarrow f \vee \neg g$
 - si $f \wedge g = False$, alors $restrict(f, g) = False$
 - si $f \vee \neg g = True$, alors $restrict(f, g) = True$
- toujours + petit que f

cofacteur généralisé

- utilisation d'une projection de Hamming :
 $Proj(a, b) = \{x \in b \mid x = \min_y \|y - z\|, z \in a\}$
 - $constrain(f, g) \wedge \neg g = f \wedge Proj(\neg g, g)$
- pas toujours + petit, mais moins dépendant de f

Secrets d'implantation

le partage après coup est maladroît !

- 1 on stocke tous les noeuds créés (éviter les doublons) dans une table de hachage:

$$hash_f = \text{Hachage}(x, hash_{f_0}, hash_{f_1})$$

- 2 on crée un noeud ssi il n'est pas déjà dans la table

→ il faut une énorme table (ou bien accepter des doublons) !

comment faire pour allouer / libérer la mémoire ?

sans parcours récursif des pointeurs ou de la table !

- 1 par ex., un compteur de réf. par noeud (BDD acycliques)
- 2 un noeud n résultat d'une opération: $n.cpt++$
- 3 un noeud n libéré: $n.cpt--$
- 4 si $n.cpt = 0$, alors on peut désallouer n ($free(n)$) et libérer ses fils

test de SATisfiabilité

- outil qui teste la satisfiabilité d'une formule propositionnelle
- cherche une valuation des variables qui rend la formule vraie

Avantages / BDD

- pas de représentation de tous les modèles
- heuristiques de recherche de solution
→ test de satisfiabilité + rapide

Inconvénients / BDD

- pas de représentation d'ensembles d'états
- pas de calcul d'images de transitions
→ pas de représentation de tous les modèles/solutions

Définition

Un observateur \mathcal{O} d'un système \mathcal{S} est:

- un automate / circuit / programme qui observe et mémorise les états et entrées / sorties de \mathcal{S}
- \mathcal{O} n'interagit pas avec \mathcal{S}
- \mathcal{O} possède un état "erreur", qu'il faut éviter d'atteindre
- \mathcal{O} est composé de façon synchrone avec \mathcal{S}
- \mathcal{O} reconnaît un sous-ens. régulier des exécutions de \mathcal{S}
- \mathcal{O} peut représenter toutes les propriétés de sûreté de \mathcal{S}
- \mathcal{O} est souvent plus simple qu'une formule temporelle équivalente



Applications

- très utilisé dans l'industrie (par défaut quelquefois)
- à coupler avec un algorithme d'exploration de l'espace d'états de \mathcal{S} :
 - parcours intelligent des exec. permises par \mathcal{O} (cycles)
 - arrêt dès qu'une erreur est trouvée
- hardware: circuit \mathcal{O} en parallèle avec \mathcal{S} , sur la même horloge
- software: plus compliqué !
 - on n'instrumente pas le code source (trop lourd)
 - on ne compose pas avec des threads (synchro. impossible)
 - on définit un interprète paramétré par \mathcal{O} qui vérifie en exécutant \mathcal{S}

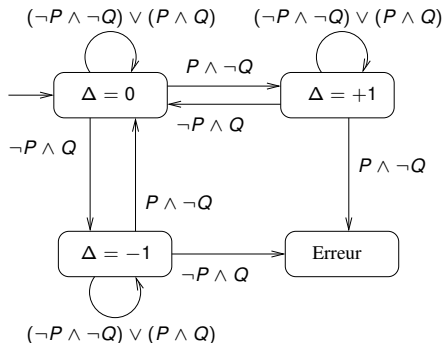


Un exemple

- nbr. d'occ. de P = nbr. d'occ de Q à ± 1 près
- formule LTL équivalente:

$$\begin{aligned} & \Box((P \wedge \neg Q) \Rightarrow X((\neg P \vee Q)W(\neg P \wedge Q))) \\ & \wedge \Box((Q \wedge \neg P) \Rightarrow X((\neg Q \vee P)W(\neg Q \wedge P))) \end{aligned}$$

- observateur:



- Quelle que soit la logique, on se ramène à un parcours de l'espace d'états.
- Il y a des degrés de liberté énormes:
 - ① sens du parcours (successeurs ou prédécesseurs) ;
 - ② ordre du parcours (largeur, profondeur, autre) ;
 - ③ traitement de l'équité éventuelle (séquentiel, alterné) ;
 - ④ représentations mémoires.
- Nous étudierons seulement une technique pour LTL



Rappels de logique LTL

- LTL = Logique Temporelle Linéaire (comme en TLA)
- Les modèles de LTL sont les exécutions σ (en g^{al} infinies)
- On vérifie alors si: $\sigma \models F$
- Grammaire des formules F :

$F ::=$ Proposition

| $F_1 \vee F_2$

| $F_1 \wedge F_2$

| $\neg F$

| $X F$

| $F_1 \cup F_2$

| $F_1 W F_2$



D'une formule à un observateur

Toute formule LTL se transforme en circuit (ou automate) t.q. :

la formule est un observateur

- les propositions atomiques correspondent à des entrées (transitions) de ce circuit ;
- des nouvelles entrées Oracle correspond aux disjonctions:
 $F_1 \vee F_2, F_1 U F_2 \equiv F_2 \vee X(F_1 \wedge F_1 U F_2)$;
- une nouvelle entrée Active correspond aux instants d'activation ;
- la sortie Bug correspond à une violation de la spec. ;

la formule induit des contraintes d'équité

- les nouvelles entrées des opérateurs U doivent être vraies infiniment souvent (FairOracle).

C'est un automate de Büchi (généralisé) !



Automate de Büchi généralisé

Un automate de Büchi généralisé est défini par:

- un ens. d'états fini Q
- un ens. d'états initiaux $I \subseteq Q$
- un ens. d'étiquettes E
- une rel. de transition $R \subseteq Q \times E \times Q$
- une contrainte d'équité $F = \{F_1, \dots, F_n\}$ avec $F_i \subseteq Q$

Il reconnaît / engendre les exec. infinies $q_0 \xrightarrow{l_0} q_1 \xrightarrow{l_1} q_2 \dots$ t.q. :

- $q_0 \in I$
- $\forall i \in \mathbb{N} : q_i \xrightarrow{l_i} q_{i+1} \in R$
- $\forall i \in [1..n] : \exists^\infty j : q_j \in F_i$

Génération du circuit

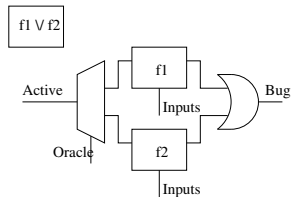
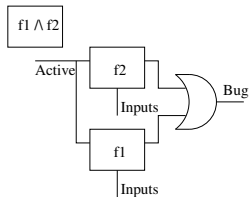
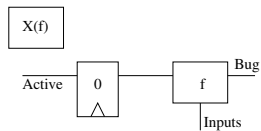
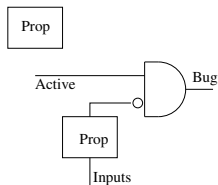
- Complexité: un registre par opérateur temporel:
 - espace d'états potentiellement exponentiel !!
- Avantage: parcours récursif simple (et rapide) de formule.
 - linéaire en temps !!

conséquence

- nécessité d'un compromis temps / mémoire
- génération du circuit améliorée
- simplification du circuit
 - combinatoire (refactorisation, partage)
 - séquentiel (retiming)

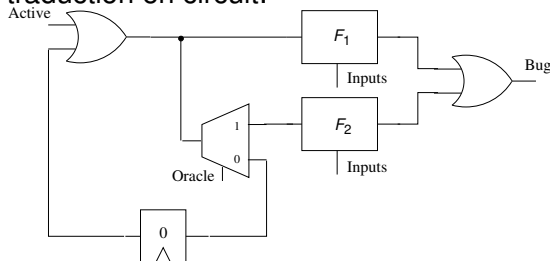


Opérateurs simples



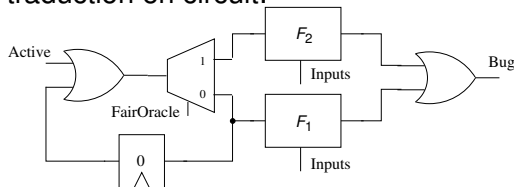
Weak Until

- $F_1 WF_2 \equiv F_1 \wedge (F_2 \vee X(F_1 WF_2))$
- un registre pour W
- un démux et un oracle pour \vee
- traduction en circuit:



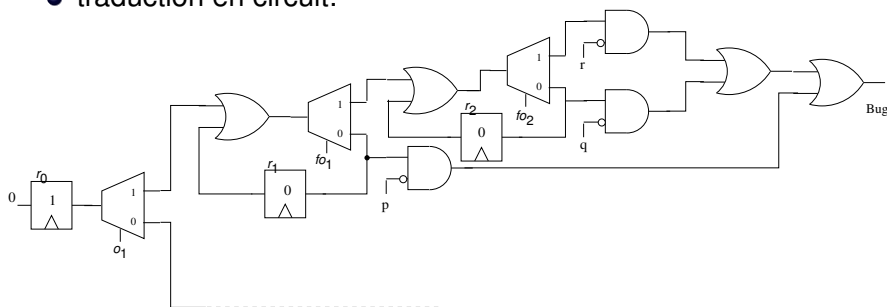
Until

- $F_1 U F_2 \equiv F_2 \vee (F_1 \wedge X(F_1 U F_2))$
- un registre pour U
- un démux et un oracle pour \vee
- l'oracle est équitable !
- traduction en circuit:



Un exemple: $pU(qUr) \vee qU(rUp)$

- p , q et r sont des propositions atomiques.
- traduction en circuit:

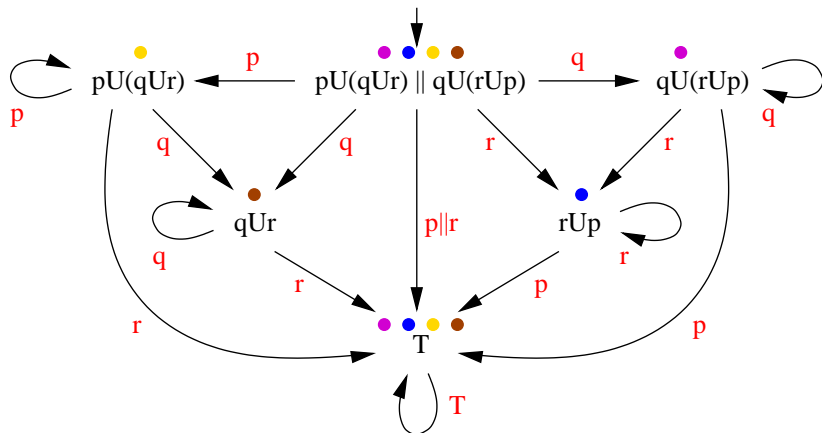


- correspondance registre \rightarrow sous-formule:

$$\begin{cases} r_0 \rightarrow pU(qUr) \vee qU(rUp) \\ r_1 \rightarrow pU(qUr) \\ r_2 \rightarrow qUr \end{cases}$$

Un exemple

Représentation explicite:



Algorithme

- ❶ on cherche une exécution qui invalide F : $\neg F$
- ❷ on ramène les négations aux propositions atomiques:
 $\neg(F_1 \cup F_2) \equiv \neg F_2 W(\neg F_2 \wedge \neg F_1)$
- ❸ on simplifie la formule si possible !
- ❹ on crée un circuit $\mathcal{C}_{\neg F}$ qui reconnait $\llbracket \neg F \rrbracket$.
- ❺ on parcourt l'espace d'états de: $\mathcal{S} \times \mathcal{C}_{\neg F}$.
- ❻ si on trouve une exécution σ telle que:
 $\sigma \models \Box \Diamond \text{FairOracle} \wedge \Box \neg \text{Bug}$
alors la spécification F est violée.



Algorithme (version BDD)

Pour trouver une exécution σ telle que:

$$\sigma \models \Box \Diamond FairOracle \wedge \Box \neg Bug$$

alors la spécification F est violée.

- ➊ on calcule les états accessibles vérifiant $\neg Bug$:
 → plus petit point fixe de la rel. de trans. à partir des états initiaux: $RSS = \mu X. \neg Bug \wedge (Init \vee Trans(X))$
- ➋ dans ces états, on cherche les cycles contenant au moins une fois $FairOracle$:
 → plus grand point fixe: $Cycles = \nu X. RSS \wedge Trans(X)$
 → on calcule en fait les cycles et leurs successeurs
- ➌ on recommence à l'étape 1 en prenant $Cycles \wedge FairOracle$ comme nouveaux états "initiaux"
- ➍ jusqu'à ce que RSS (et $Cycles$) soient inchangés
- ➎ si $Cycles \neq \emptyset$, alors F est violée

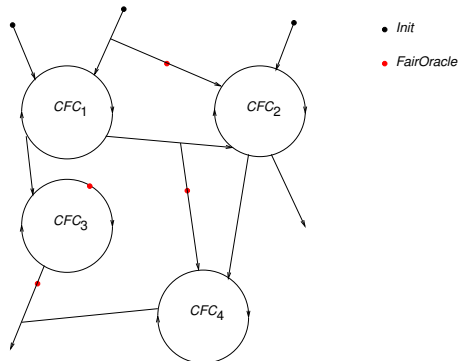


Un exemple

Etats accessibles ($\mathcal{S} \times \mathcal{C}_{\neg F}$):

$$Init_0 = Init$$

$$RSS_0 = \mu X. \neg Bug \wedge (Init_0 \vee Trans(X))$$

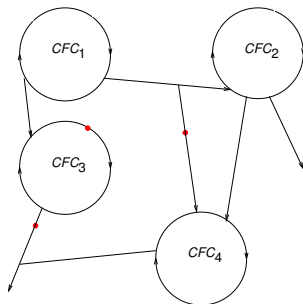


Un exemple

Cycles et successeurs:

$$Cycles_0 = \nu X. RSS_0 \wedge Trans(X)$$

- *Init*
- *FairOracle*



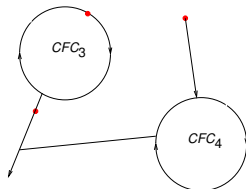
Un exemple

Etats accessibles:

$$Init_1 = Cycles_0 \wedge FairOracle$$

$$RSS_1 = \mu X. \neg Bug \wedge (Init_1 \vee Trans(X))$$

- *Init*
- *FairOracle*

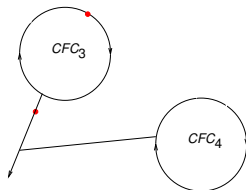


Un exemple

Cycles et successeurs:

$$Cycles_1 = \nu X. RSS_1 \wedge Trans(X)$$

- *Init*
- *FairOracle*



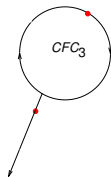
Un exemple

Etats accessibles:

$$Init_2 = Cycles_1 \wedge FairOracle$$

$$RSS_2 = \mu X. \neg Bug \wedge (Init_2 \vee Trans(X))$$

- *Init*
- *FairOracle*

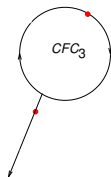


Un exemple

Cycles et successeurs:

$$Cycles_2 = \nu X. RSS_2 \wedge Trans(X)$$

- *Init*
- *FairOracle*



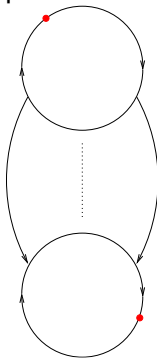
Un exemple

- le point fixe global est atteint, i.e.: $RSS_2 = Cycles_2$
- $Cycles_2 \neq \emptyset$, donc il existe une exécution σ t.q. :
 $\sigma \models \Box \Diamond FairOracle \wedge \Box \neg Bug$
- donc la spécification est ici fausse
- il reste à reconstruire un contre-exemple σ .
Difficile avec des BDD



Un exemple

- on peut aussi combiner calculs d'images directes et inverses
- mais on ne peut jamais obtenir les états cycles seuls
- par ex.



Objectif:

- réduire le nombre d'états / transitions à explorer
- pouvoir vérifier des systèmes plus gros
- sans abstraction, sans perte de précision
- relativement à la spécification
- bisimulation, conservation des propriétés



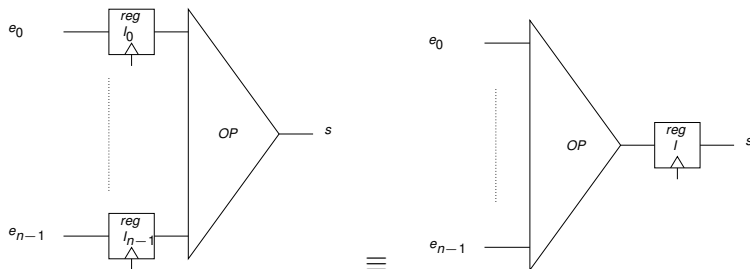
Introduction

- technique plutôt spécifique aux circuits
- déplacement / fusion de registres
- conserve le comportement du circuit de départ
- bisimulation
- objectif: diminuer le nombre de registres
- dans l'espace de tous les circuits équivalents, chercher l'optimum
- problème de graphe NP-complet
- heuristiques de recherche: recuit simulé, etc



Définition

Les registres *reg* commutent avec la logique combinatoire *OP*



Gain de place !

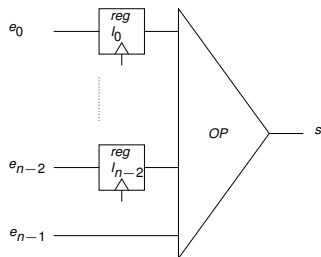
Problématique

- les registres peuvent traverser la logique combinatoire an avant ou en arrière
- il faut parfois accepter un accroissement temporaire du nombre de registres
- technique trop limitée en général !
- on peut faire mieux: anti-registres



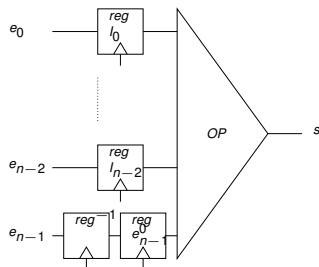
Problématique

- circuit presque bon pour le retiming
- on suppose l'ex. d'anti-registres



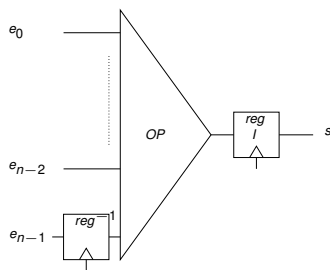
Problématique

- les anti-registres sont inverses des registres



Problématique

- un anti-registre en plus ?
- beaucoup de registres en moins !
- on doit avoir : $I = OP(I_0, \dots, I_{n-2}, e_{n-1}^0)$



Anti-registres

- un registre : $s = \text{reg}(e, X)$

e	e^0	e^1	e^2	e^3	\dots
s	X	e^0	e^1	e^2	\dots

- un anti-registre : $s = \text{reg}^{-1}(e)$

e	e^0	e^1	e^2	e^3	\dots
s	e^1	e^2	e^3	e^4	\dots



Anti-registres

Quelques propriétés :

- registre \circ anti-registre : $s = \text{reg}(\text{reg}^{-1}(e), X)$

e	e^0	e^1	e^2	e^3	\dots
reg^{-1}	e^1	e^2	e^3	e^4	\dots
s	X	e^1	e^2	e^3	\dots

- anti-registre \circ registre : $s = \text{reg}^{-1}(\text{reg}(e, X))$

e	e^0	e^1	e^2	e^3	\dots
reg	X	e^0	e^1	e^2	\dots
s	e^0	e^1	e^2	e^3	\dots

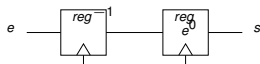
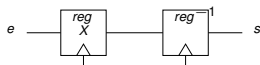
- les anti-registres commutent aussi avec la logique combinatoire !



Anti-registres

Graphiquement parlant:

e ————— s



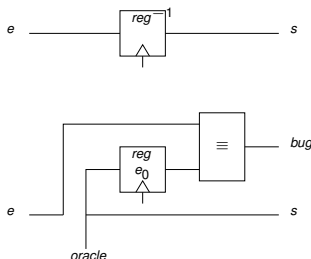
Anti-registres

- la sortie d'un anti-registre est le futur de son entrée !
→ peut-on implanter un anti-registre ?
- non, de façon déterministe (i.e. algorithmique, matérielle)
- oui, de façon non-déterministe (pour la vérification)
- l'entrée d'un anti-registre doit être le passé de sa sortie
 $s = \text{reg}^{-1}(e) \equiv e = \text{reg}(s, e^0)$
→ contrainte implantable (avec des registres) !



Anti-registres

- implantation: *oracle* est une entrée, *bug* une sortie



- soit \mathcal{C} contenant des anti-registres :
pour vérifier que \mathcal{C} satisfait P
 - on traduit reg_i^{-1} en $reg_i + oracle_i + bug_i$
 - on vérifie : $(\Box \forall i : \neg bug_i) \Rightarrow P$
(dans toutes les exécutions où *oracle* devine le futur de *e*
P doit être vraie)

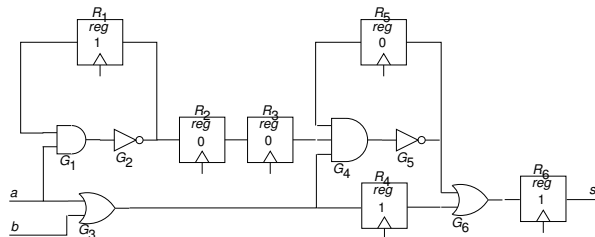
Anti-registres : conclusion

- les anti-registres sont très utiles
- beaucoup plus de liberté d'optimisation
- il existe d'autres problèmes et d'autres techniques



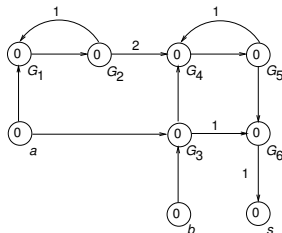
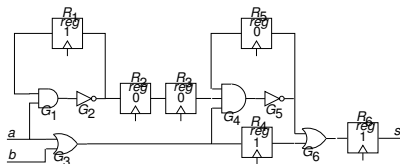
Application

On souhaite réduire le nombre de (anti-)registres, afin de faciliter la vérification du circuit suivant :



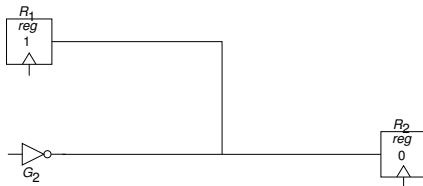
Application

- on travaille sur un graphe plus simple (retiming graph)
- les noeuds sont les portes logiques, les entrées, les sorties
- les arcs comptent les registres entre ces portes
- on veut minimiser la somme des entiers sur les arcs (en valeur absolue)
- les entiers dans les noeuds comptent les traversées de registres effectuées



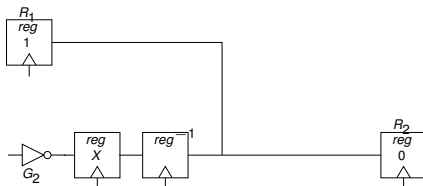
Problème de l'état initial

- l'annihilation de paires registre/anti-registre n'est pas toujours simple (désaccord sur l'état initial)
- un gros plan :

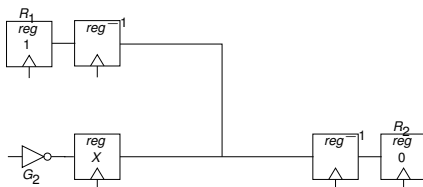


Problème de l'état initial

1



2



On doit avoir $X = 0 = 1$!

Problème de l'état initial

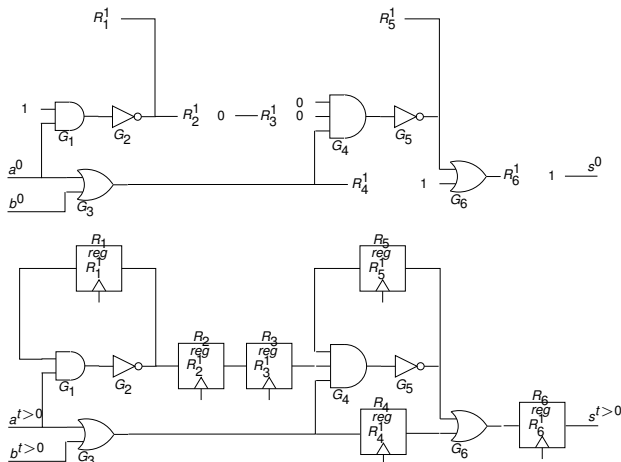
On résout le problème par dépliage du circuit :

- 1 on duplique le circuit
- 2 la première version calcule la transition $t = 0 \rightarrow t = 1$
→ on peut supprimer toute la combinatoire après les registres
- 3 la seconde version calcule les transitions $t > 0 \rightarrow t + 1$
→ la valeur initiale des registres est déterminée par le circuit précédent



Application

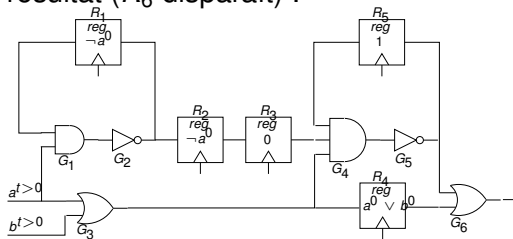
- le dépliage du circuit donne :



- on s'intéressera au second circuit

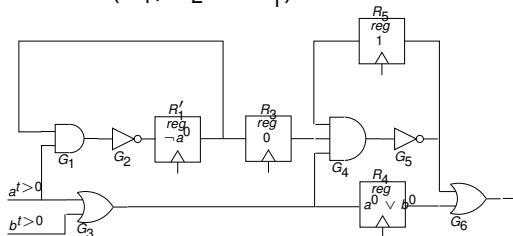
Application

- retiming périphérique
 → on retire les registres aux bornes du circuit
 → on reconstituera les traces avec le bon décalage temporel
- résultat (R_6 disparaît) :



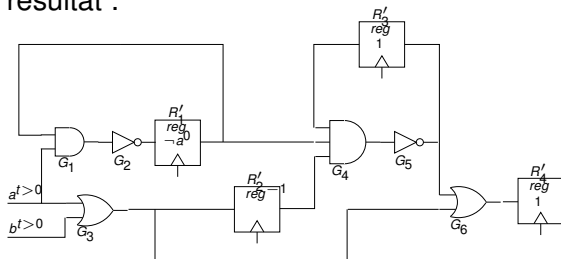
Application

- fusion de registres (de même état initial)
- résultat ($R_1, R_2 \rightarrow R'_1$) :



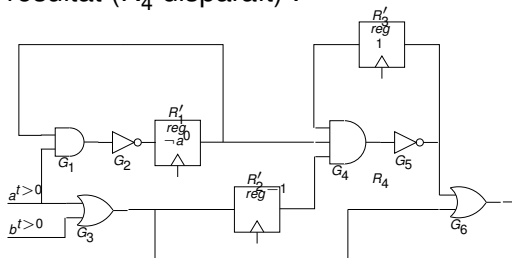
Application

- création d'une paire anti-registre/registre avant G_4 : R'_2
- prop. de reg. à travers G_4, G_5 : $R_5, R_3, R'_2 \rightarrow R'_3$
- prop. de reg. à travers G_6 : $R'_3, R_4 \rightarrow R'_4$
- résultat :



Application

- retiming périphérique
- résultat (R'_4 disparaît) :



- il ne reste que 3 (sur 6) registres / anti-registres !

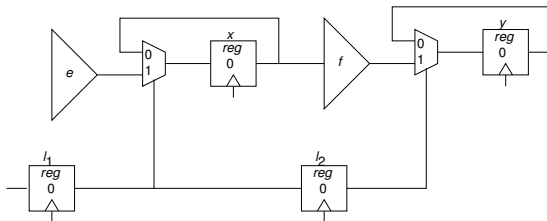
Retiming et logiciel

- le retiming dans le logiciel est possible
- correspond par ex. au réordonnancement d'instructions
- un exemple :

programme

$l_1 : x = e ;$
 $l_2 : y = f(x) ;$

circuit



Retiming et logiciel

- x traverse f
- l_2 , x et y traversent demux
- résultat :

programme	circuit
$l_1 : x = e$ $\parallel y = f(e);$	

Symétrie et abstraction

constatations

- certaines transitions commutent
- certains états sont observationnellement identiques (bisimilaires)
- certains registres sont permutables



Automorphismes

Soit $\mathcal{K} = \langle S, AP, I, R, L \rangle$ une structure de Kripke.

σ est un automorphisme de \mathcal{K} ssi :

- $\sigma \in S \rightarrow S$ est une permutation sur S
- σ préserve $R : \forall s, t \in S : (s, t) \in R \Leftrightarrow (\sigma(s), \sigma(t)) \in R$
- σ préserve $I : I = \sigma(I)$

$p \in Prop(AP)$ est un invariant pour σ ssi :

- σ préserve $p : \forall s \in S : L(s) \models p \Leftrightarrow L(\sigma(s)) \models p$

une formule temporelle f est un invariant pour σ ssi :

- soit MP l'ens. des sous-formules prop. maximales de f
par ex. si $f = (a \vee \neg b)Uc$, alors $MP = \{a \vee \neg b, c\}$
- $\forall p \in MP : \forall s \in S : L(s) \models p \Leftrightarrow L(\sigma(s)) \models p$

Groupes et quotients

$G = \langle E, \circ, _{-1} \rangle$ est un groupe sur E ssi :

- G est fermé par \circ
- G est fermé par $_{-1}$

$\Theta(s) \subseteq S$ est une orbite de $s \in S$ pour G ssi :

- G est un groupe de permutations sur S
- $\Theta(s) = \{\sigma(s) \mid \sigma \in G\}$

\mathcal{Q} est une structure quotient de \mathcal{K} pour G ssi :

- G est un groupe d'automorphismes de \mathcal{K}
- $AP_{\mathcal{Q}} = AP_{\mathcal{K}}$
- $S_{\mathcal{Q}} = \{\Theta(s) \mid s \in S_{\mathcal{K}}\}$
- $R_{\mathcal{Q}} = \{(\Theta(s), \Theta(t)) \mid (s, t) \in R_{\mathcal{K}}\}$
- $L_{\mathcal{Q}}(\Theta(s)) = L_{\mathcal{K}}(\epsilon(\Theta(s)))$ (ϵ fonction de choix)

Propriétés

G est un groupe d'invariance de f sur \mathcal{K} ssi :

- G est un groupe d'automorphismes sur \mathcal{K}
- f est invariant pour tout $\sigma \in G$, ou bien :
- si $f \in LTL$, alors G doit en fait être (+ souple) :
 - un groupe d'auto. sur l'auto. de Büchi de f
 - $\sigma \in G$ doit respecter l'équité : $\forall i : F_i = \sigma(F_i)$

préservation des propriétés

- soit G un groupe d'invariance de f sur \mathcal{K}
 - soit \mathcal{Q} une structure quotient de \mathcal{K} pour G
- $L_{\mathcal{Q}}$ est indépendant de ϵ ; donc $\mathcal{Q} = \mathcal{K}_{[G]}$ est unique
- $\mathcal{K} \models f \Leftrightarrow \mathcal{Q} \models f$

Recommandations

- les structures quotients sont toujours plus petites
- on doit chercher des groupes d'auto. de taille maximale :
 - au pire, $G = \{id\} : |\Theta(s)| = 1; \mathcal{S}_Q = \mathcal{S}_K$
 - au mieux, $G = \{\pi_i \mid i \in 1 \dots n!\} : \Theta(s) = \mathcal{S}_K; |\mathcal{S}_Q| = 1$
- pour une spécification f , on s'intéressera aux structures quotients issues de groupes d'invariance de f



Trouver les symétries

- déterminer les symétries maximales d'un système est algorithmiquement difficile
- pas intéressant s'il faut d'abord construire l'espace d'états en entier
→ caractérisation syntaxique des systèmes exhibant des symétries

conditions suffisantes de symétrie

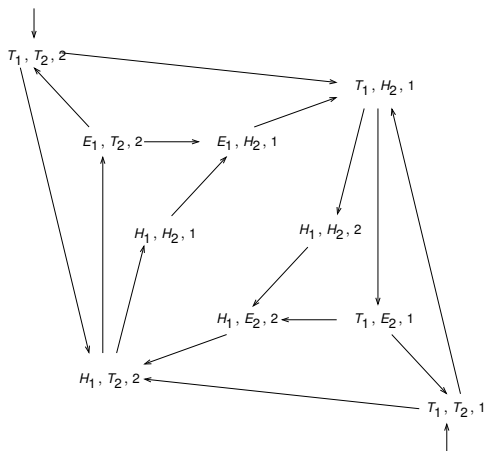
- système construits à partir de N composants identiques
- topologie de communication régulière (anneau, graphe complet, etc)
- types de données privés (scalarset) : $==$ et $:=$



Un exemple

Considérons l'algorithme de Peterson :

- protocole d'exclusion mutuelle à 2 proc. très symétrique
- graphe d'états :



Un exemple

spécification

- exclusion mutuelle : $\Box \neg (etat_1 = E \wedge etat_2 = E)$
- absence de famine :
 $\Box (etat_1 = H \Rightarrow \Diamond etat_1 = E) \wedge \Box (etat_2 = H \Rightarrow \Diamond etat_2 = E)$

automorphismes invariants

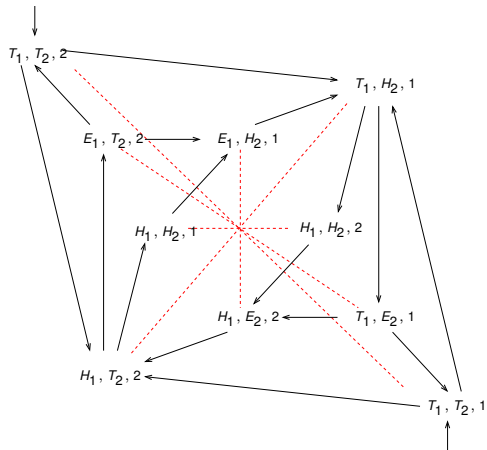
- $(etat_1, etat_2, tour) \mapsto (etat_1, etat_2, tour)$
- $(etat_1, etat_2, tour) \mapsto (etat_2, etat_1, 3 - tour)$

Dessignons les automates de Büchi !



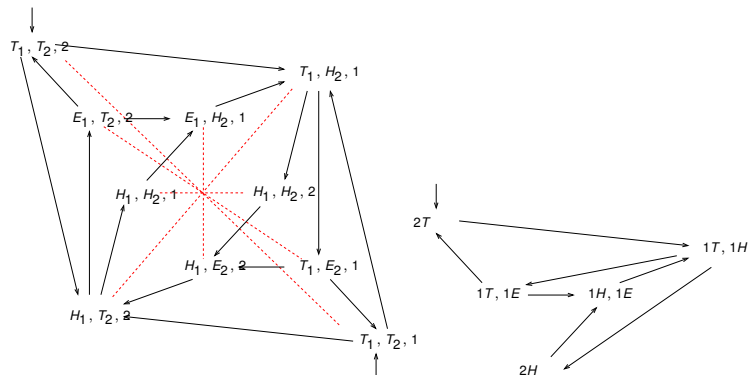
Un exemple

Les orbites sont en rouge :



Un exemple

Structure quotient, invariante pour la spécification :



Types privés

Soit N processus possédant une variable d'état : $etat[i]$

les expressions e sont de la forme :

- e ne contient pas de var. libres indices de proc.
- les indices de proc. dans e sont quantifiés par :
 $\forall i : \dots$ ou bien $\exists i : \dots$
- les indices de proc. dans e peuvent seulement être comparés entre eux : $i = j$

les transitions sont de la forme :

- $\forall i : etat[i] := e \text{ if } g$
- $\exists i : etat[i] := e \text{ if } g$
- e et g satisfont la contrainte précédente
par ex. $\forall i : etat[i] \neq Eating$ est une garde acceptable

Types privés

- si ces conditions sont vérifiées, alors :
 - l'ens. $[0..N - 1]$ peut être vu comme un type privé
 - les indices de proc. sont tous permutable
 - ces permutations ($N!$) sont des automorphismes
- la spec. doit aussi être invariante (très fréquent)
- sinon, on peut essayer de partitionner les indices en sous-ensembles où les conditions seront vérifiés



Systèmes paramétrés

Ces résultats de symétrie peuvent s'étendre au cas paramétré.

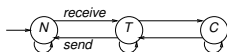
- soit $\mathcal{S}(N)$ composé de N composants identiques, indexés par un type privé T
- $\exists K : \mathcal{S}(K)_{[\{\pi_T\}]} = \mathcal{S}(K+1)_{[\{\pi_T\}]}$
- on n'a besoin de considérer que K valeurs \neq dans T pour être dans le cas général



Un exemple

Considérons le protocole d'exclusion mutuelle par jeton circulant sur un anneau.

- $etat[i] \in \{N, T, C\}$
- graphe d'état pour un proc. :



- synchronisation sur *receive* et *send*
(correspond à $token := token \oplus 1$)
- les automorphismes sont les rotations
- graphe quotient :

